氷河湖決壊洪水(GLOF)の発生リスク評価法確立のための研究

一現地観測結果を用いた数値解析一

三重大学 〇鈴木 心,堤 大三 立命館大学 里深好文,高山翔揮

はじめに

近年、地球温暖化の影響で、高山地帯において氷河の縮小が進んでいる。それに伴い、氷河湖の拡大が進行しており、氷河湖決壊の発生頻度やそのリスクが高まっている。氷河湖決壊が原因で発生する洪水を氷河湖決壊洪水(GLOF: Glacial Lake Outburst Flood)という。GLOFは、大量の水が土砂を巻き込み流下するため、下流域の自然やインフラ、人々の暮らしに大きな被害をもたらす。

GLOF 発生原因の一つに、モレーンの融解がある。モレーンは構成材質・形状の点から非常に不安定であるが、堤体内部が凍結していることで強度が保たれていると考えられる。もし、地球温暖化によりモレーン全体が融解する様な場合、その強度は低下し、GLOF発生のリスクが高まると予想される。そのため、モレーンの温度変化を把握することは、GLOF発生の危険度を評価するために非常に重要である。

本研究では、GLOF 発生の危険性が指摘されている場所の一つである、ネパールの Tsho Rolpa を対象地とする(図-1)。当該地のモレーンの比高は約 150 m あり、このような巨大なモレーンの内部温度を直接測定することは困難である。そのため、モレーンの表面温度をもとに熱伝導解析を行い、内部温度の推定を試みる。本稿では、一年間現地にてモレーン表面温度の観測を行い、その結果を用いて現地スケールの熱伝導解析を行った結果を報告する。

2. 現地観測

2.1 観測概要

2018年11月18日から2019年11月9日にかけて、現地にて観測を行った。観測事項は、モレーン地表面の温度、気温、気圧である。また、インターバルカメラを設置し、湖面の様子のモニタリングも行った。すべて1時間間隔で計測を行った(図-2)。

表面温度の観測は、計8地点9か所の温度を測定した。観測地点は、上流から No.1~No.8 とした。温度計の設置方法2パターンあり、巨礫の表面に温度計を



図-1 Tsho Rolpa のモレーン

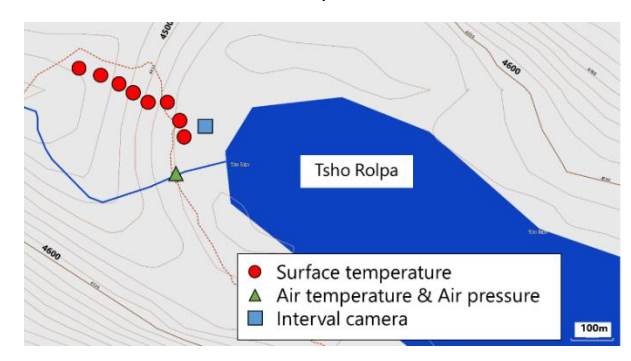


図-2 観測機器の設置場所

表-1 表面温度の観測結果(単位:°C)

	air	No.1	No.2	No.3	No.4
max	21.6	44.8	10.5	7.7	9.9
min	-21.6	-18.8	-11.4	-9.2	-9.4
ave	0.4	4.9	0.4	0.5	0.8
	No.5	No.6	No.7	No.8-1	No.8-2
max	No.5 13.0	No.6 19.2	No.7	No.8-1	No.8-2 12.8
max min			14.6		

露出させた状態で取り付けた露出型、地面に設置した 温度計に石礫を覆いかぶせた埋没型である。No.1、 No.8-1 が露出型で、No.2~No.8-2 が埋没型である。 最下流の地点 No.8 では、同じ地点で2パターンの温 度計測を行った。

2.2 観測結果

観測温度の結果を表-1 に示す。露出型の No.1 と No.8-1 では、日射や風などの影響で温度変化の振れ幅が大きく、平均温度が高くなる結果となった。一方の埋没型では、比較的安定した温度変動となった(図-3)。また、各地点の平均温度を比較すると、埋没型の平均温度では、地点標高と温度に正の相関がみられた。

3. 熱伝導解析

3.1 解析手法

現地観測によって得られた表面温度を入力値とした、モレーン縦断面の二次元熱伝導解析を行った。この解析では土層の凍結融解を考慮している。二次元熱伝導方程式(1)と相変化時の熱収支式(2)を連立させ、不凍水率 θ と凍結融解温度 T_L の関係式(3)を用いることで、水の相変化を伴う熱伝導を解いた。

$$\lambda \left(\frac{\partial^2 T}{\partial x^2} + \frac{\partial^2 T}{\partial z^2} \right) + L_W \frac{\partial \phi}{\partial t} = C \frac{\partial T}{\partial t} \qquad \dots \qquad (1)$$

$$\Delta\phi(i,t) = C \times \{T_L(i,t) - T(i,t)\}/L_W \qquad \cdot \cdot \cdot (2)$$
$$T_L = \theta - 0.4 \qquad \cdot \cdot \cdot \cdot \cdot (3)$$

ここで、Tは温度(K)、 T_L は凍結融解温度、 L_w は水の融解潜熱(J/m^3)、 λ は土層の熱伝導度(W/m/K)、Cは土層の熱容量($J/m^3/K$)、 ϕ は凍結水率、 θ は不凍水率、 $\Delta\phi$ は凍結融解体積変化量、iは節点番号、tは時間である。

3.2 解析シナリオ

全層凍結しているモレーンの表面温度が、100年間で10°C上昇した場合、どのように融解するかを確かめた。融解挙動を確認するため、IPCC(2013)の報告の10倍以上の温度上昇ペースという非現実的な温暖化シナリオを想定した。入力した表面温度は、埋没型の観測結果の平均温度を標高によって配分し、0.1°C/yearのペースで温度を上昇させた。土層の水分条件は、上流の湖水面から最下流地点の地下20mを結んだ直線を地下水位と仮定し、砂質土の条件で含水率を与えた。土層の間隙は0.3で一定とした。

初期条件は、堤体内部温度を-0.3°C一定とし、全層完全凍結した状態から解析を始めた。境界条件として、モレーン表面には実測温度、湖水の温度を一定と考え、湖水と接している上流面には0.05°C、底面はフラックス0の条件をそれぞれ与えた。モレーンの断面を 1×1 mの正方メッシュに区切り、時間ステップ1時間で計算を行った。

3.3 解析結果

解析後のモレーン縦断面温度分布の一例を図-4 に示す。図中の線は0℃の等温線を示している。計算開始から20年ほど経過するまでに、地下水面より上の不飽和土層の熱伝導が急激に進行した。その後、飽和

土層まで融解が進むと、融解速度が減少した。モレーンのトップ部は地下水位が低いため、最大で深さ 52 mまで融解が進行した。

4. おわりに

本研究で明らかとなった事項を以下に示す。

- ① 現地観測により、モレーン表面温度と標高に相関がみられた。また、温度計を埋没させて観測することにより、安定した表面温度変動を観測することができた。
- ② 観測結果を用いた、現地スケールでの熱伝導解析 を行うことができた。

以上の結果を踏まえて、モレーン内部の温度変化を 考慮した GLOF 発生危険度評価法の確立を目指す。

5. 参考文献

・IPCC 第5次報告書(2013)

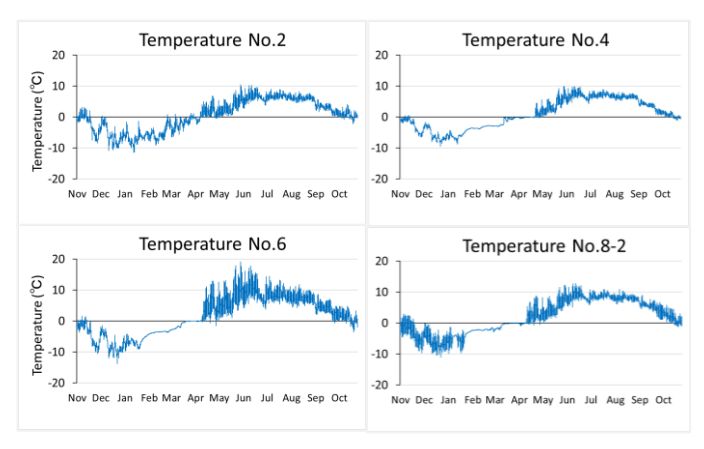


図-3 埋没型の観測結果

